

- [2] Venkatesan T., Wu X.D., Inam A., Wachtman J.B. // Appl. Phys. Lett. 1988. V. 52. N 14. P. 1193-1195.
- [3] Анисимов С.И., Имас Я.А., Романов Г.С., Ходыко Ю.В. Действие излучения большой мощности на металлы. М.: Наука, 1970. 272 с.
- [4] Соболь Э.Н. // Письма в ЖТФ. 1984. Т. 10. № 1. С. 40-44.
- [5] Людов Б.Я., Соболь Э.Н. // ИФЖ. 1983. Т. 45. № 4. С. 670-687.
- [6] Fischer H.E., Watson S.K., Cahill D.G. // Comments on Condensed Matter Physics. 1988. V. 14. N 2. P. 65-128.
- [7] Анисимов С.И., Гольберг С.М., Соболь Э.Н., Трибельский М.И. // Письма в ЖТФ. 1981. Т. 7. № 14. С. 882-887.
- [8] Fitzner K., Chang Y.A. - High-Temperature Superconductors II, Pittsburgh, USA, 1988. P. 285-288.
- [9] Соболь Э.Н. // ЖТФ. 1982. Т. 52. № 8. С. 1697-1699.

Поступило в Редакцию
8 февраля 1989 г.

Письма в ЖТФ, том 15, вып. 8

26 апреля 1989 г.

07; 12

ПСЕВДОГЛУБОКАЯ ГОЛОГРАММА

Ю.Н. Денисюк

Глубокие трехмерные голограммы, как известно, обладают рядом весьма полезных свойств: высокой спектральной и угловой селективностью, отсутствием сопряженного изображения, возможностью ассоциативной выборки информации, а также допускают реконструкцию обычным источником со сплошным спектром и т.д. [1-4]. К сожалению, получение таких голограмм связано с очень большими трудностями, обусловленными, в основном, ограниченными возможностями создания необходимых светочувствительных сред.

Ниже рассматривается возможность получения так называемых псевдоглубоких голограмм, т.е. записанных и восстановленных по специальной схеме тонкослойных голограмм, оптические свойства которых идентичны свойствам трехмерных голограмм, имеющих практически неограниченную толщину. Эта возможность появляется в результате ограничения класса регистрируемых объектов одно-

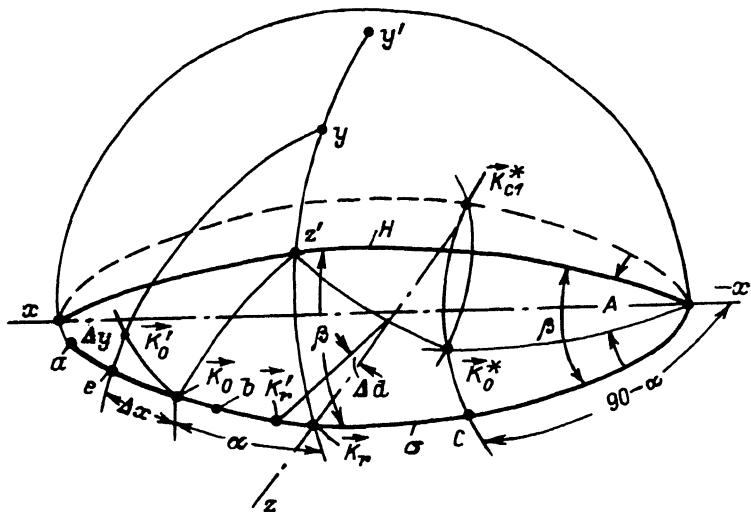


Рис. 1. К рассмотрению угловой селективности псевдоглубокой голограммы. H — плоскость голограммы, σ — „плоскость считывания”, \vec{k}_r — волновой вектор референтной волны, ab — объект, \vec{k}_o — волновой вектор излучения одной из точек объекта, \vec{k}_o^* — волновой вектор объектной волны, восстановленной голограммой.

мерными линейными объектами, имеющими вид строки с переменной по длине яркостью.

Взаимное расположение световых пучков при записи и считывании псевдоглубокой голограммы изображено на рис. 1 с помощью сферы единичного радиуса. Объект — линия переменной яркости и фазы ab и референтный луч \vec{k}_r лежат в плоскости σ , которую в дальнейшем будем называть „плоскостью считывания”. Голограмма H наклонена на угол β по отношению к плоскости σ .

Механизм записи и реконструкции изображения объекта с помощью псевдоглубокой голограммы рассмотрим на примере элементарной голограммы, образованной в результате регистрации картины интерференции референтной волны \vec{k}_r с волной \vec{k}_o излучения одной из точек объекта ab . Волновые функции референтной и объектной волны в системе координат x, y', z' (рис. 1) можно записать следующим образом:

$$\psi_r = a_r e^{ik(z' \cos \beta - y' \sin \beta)}, \quad (1)$$

$$\psi_o = a_o e^{ik(x \sin \alpha + z' \cos \alpha \beta - y' \cos \alpha \sin \beta)}. \quad (2)$$

Складывая ψ_r и ψ_o , умножая результат на сопряженную величину и полагая $y' = 0$, найдем распределение интенсивности в плос-

кости голограммы. Ограничивааясь линейным случаем записи, будем считать, что амплитудный коэффициент пропускания голограммы $\tilde{\epsilon}_H$ пропорционален воздействовавшей интенсивности:

$$\begin{aligned} \tilde{\epsilon}_H = & k \left\{ a_r^2 + a_r a_o e^{ik[x \sin \alpha + z' \cos \beta (\cos \alpha - 1)]} + \right. \\ & \left. + a_r a_o e^{-ik[x \sin \alpha + z' \cos \beta (\cos \alpha - 1)]} + a_o^2 \right\}. \end{aligned} \quad (3)$$

Перейдем к процессу реконструкции голограммы. Предположим, что голограмма восстанавливается волной ψ'_r , повернутой на малый угол $\Delta\alpha$ относительно волны ψ_r

$$\psi'_r = a_r e^{ik(\Delta x + z' \cos \beta - y' \sin \beta)}. \quad (4)$$

Границные условия восстановленной голограммой объектной волны найдем, умножая второе слагаемое (3) на ψ'_r :

$$\psi'_o = k a_r^2 a_o e^{ik[x(\Delta x + \sin \alpha) + z' \cos \beta \cos \alpha]}. \quad (5)$$

Множители при x и z' являются направляющими косинусами восстановленной объектной волны \tilde{k}_o по отношению к этим осям. Сравнивая (5) с (2) нетрудно понять, что угол волны \tilde{k}_o с осью z' остался прежним, т.е. $\Delta z = 0$. Угол по отношению к оси x получил приращение, величину которого нетрудно подсчитать, сравнивая (2) и (5):

$$\Delta x = - \frac{\Delta \alpha}{\cos \alpha}. \quad (6)$$

Проведя соответствующие малые круги из точек x и z' , а также выполнив несложные тригонометрические подсчеты, нетрудно определить угол Δy , на который отклоняется восстановленная волна \tilde{k}_o при изменении угла падения восстанавливющей волны на $\Delta \alpha$:

$$\Delta y = \frac{\operatorname{tg} \alpha}{\operatorname{tg} \beta} \Delta \alpha. \quad (7)$$

Умножая третье слагаемое (3) на ψ_r (1), нетрудно найти граничные условия сопряженной волны \tilde{k}_o^* (см. рис. 1) и показать, что эта волна отклоняется на достаточно большой угол от плоскости считывания G . Изменяя абсолютную величину вектора k в (1), проводя рассуждения, аналогичные тем, которые были использованы при выводе (7), нетрудно найти угол отклонения восстановленного луча от плоскости считывания, обусловленный изменением длины волны излучения, восстанавливающего голограмму:

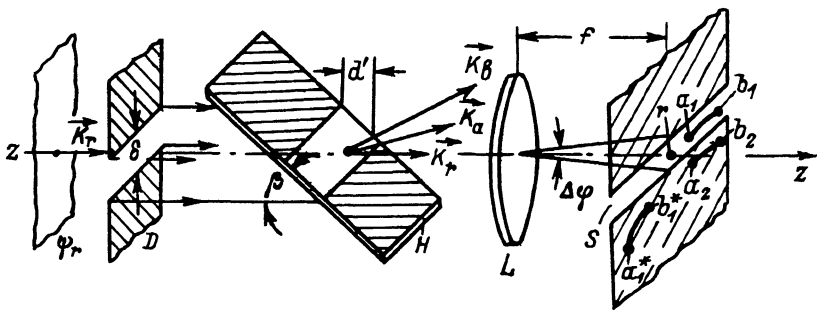


Рис. 2. Схема реконструкции псевдоглубокой голограммы. ψ_r - считающая волна, характеризующаяся волновым вектором k_r , D - диафрагма, H - голограмма, d' - глубина псевдоглубокой голограммы, L - линза, S - щель, выделяющая плоскость считывания, $a, b; a^*, b^*$ - восстановленные голограммой H изображения объектов.

$$\Delta\gamma'' = \frac{1}{tg\beta} \frac{1 - \cos\alpha}{\cos\alpha} \frac{d\lambda}{\lambda}, \quad (8)$$

где λ - длина волны излучения.

Схема реконструкции псевдоглубокой голограммы приведена на рис. 2. Плоская волна ψ_r проходит апертурную диафрагму D , которая вырезает из волнового фронта полоску шириной δ . За диафрагмой D располагается голограмма H , наклоненная на угол β к плоскости считывания. Вырезанный диафрагмой участок волнового фронта восстанавливает голограмму на площади, протяженность которой в глубину равна d' .

$$d' = \frac{\delta}{tg\beta}. \quad (9)$$

Восстановленные голограммой объектные лучи k_a и k_b попадают на линзу L , коллимируются ею и образуют в фокальной плоскости линзы изображения зерегистрированных на голограмме объектов. (В случае, изображенном на рисунке, восстановлены: первый объект a, b , второй $a_2 b_2$ и сопряженное изображение a^*, b^*). Ширина восстановленной объектной строчки ограничивается щелью S , которая, определяя плоскость считывания, пропускает лучи, соответствующие объекту, записанному при данном направлении объектной волны ψ_r и отсекает все остальные. Минимально возможная угловая ширина щели $\Delta\varphi$ равна углу дифракции на отверстии с размером δ :

$$\Delta\varphi = \frac{\lambda}{\delta}. \quad (10)$$

Подставляя в (10) значение ξ из (9) и приравнивая $A\varphi$ к $d\psi$ и $d\psi''$ (7) и (8), найдем угловую и спектральную селективность псевдоглубокой голограммы:

$$\Delta\alpha = \frac{\lambda}{d' \operatorname{tg} \alpha}, \quad (11)$$

$$\frac{\Delta\alpha}{\lambda} = \frac{\lambda \cos \alpha}{2d' \sin^2 \frac{\alpha}{2}}. \quad (12)$$

Нетрудно показать, что выражения (11) и (12) практически точно совпадают с выражениями для угловой и спектральной селективности глубокой трехмерной голограммы, вычисленными с помощью так называемой кинематической теории, не учитывающей ослабления падающей волны и вторичных отражений в толще голограммы. Из других свойств псевдоглубокой голограммы следует отметить отсутствие сопряженного изображения, которое как уже отмечалось, уводится достаточно далеко от плоскости считывания и отсутствие так называемого „гало”, образованного в результате взаимной интерференции точек объекта. Действительно, из соотношения (7) следует, что точки „гало” также будут далеко уведены от плоскости считывания.

В заключение хочу поблагодарить Н.М. Ганжерли за проведение предварительных экспериментов, подтвердивших справедливость ряда полученных соотношений.

Список литературы

- [1] Денисюк Ю.Н. ДАН СССР. 1962. Т. 144. № 6. С. 1275-1278.
- [2] Денисюк Ю.Н. // Опт. и спектроскоп. 1963. Т. 15. № 4. С. 522-532.
- [3] Van Heerden P. // J. Applied Optics. 1963. V. 2. N 4. P. 393-400.
- [4] Денисюк Ю.Н. Опт. и спектроскоп. 1965. Т. 18. С. 276-283.

Поступило в Редакцию
15 февраля 1989 г.